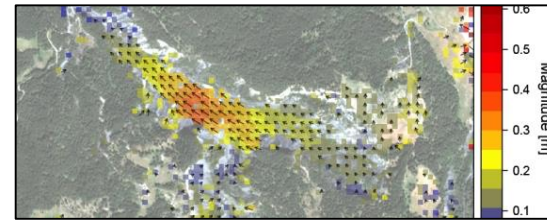
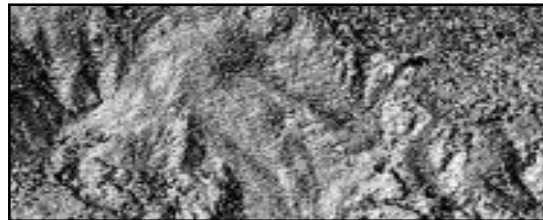


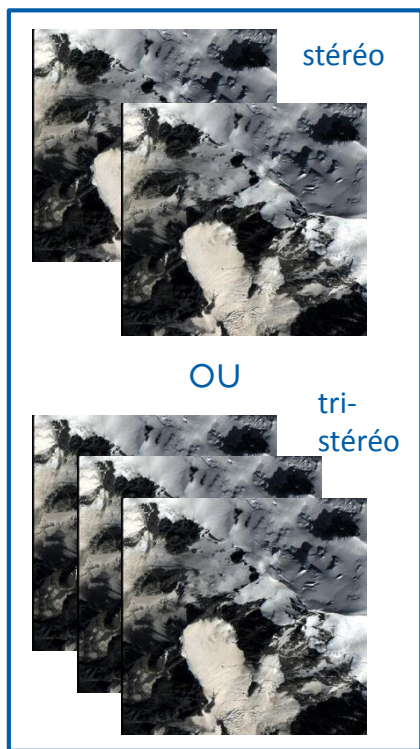
# L'apport de la télédétection pour l'analyse des mouvements du sol

J.-P. Malet, EOST – CNRS / Université de Strasbourg  
avec des contributions de A. Stumpf, P. Bornemann, R. Schlögel,  
C. Heimlich, C. Doubre, F. Masson



# L'imagerie optique stéréoscopique pour créer des modèles de surface

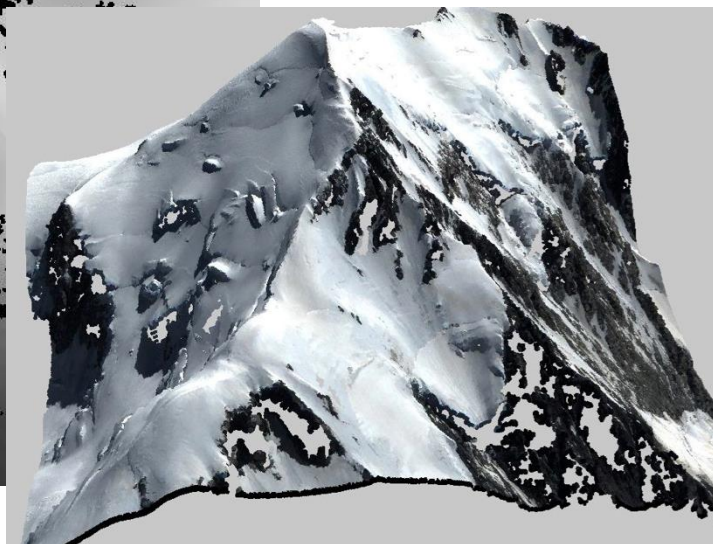
Données d'entrée



Modèle de surface (E,N,Z)



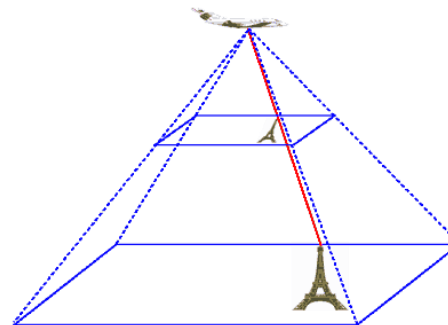
Modèle 3D



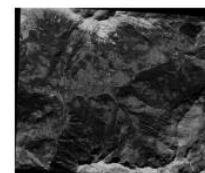
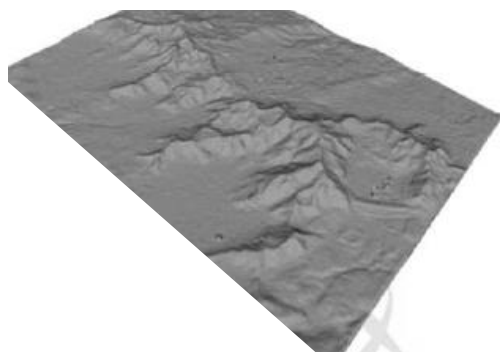
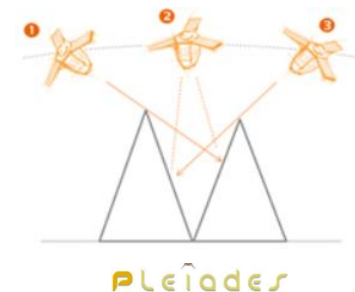
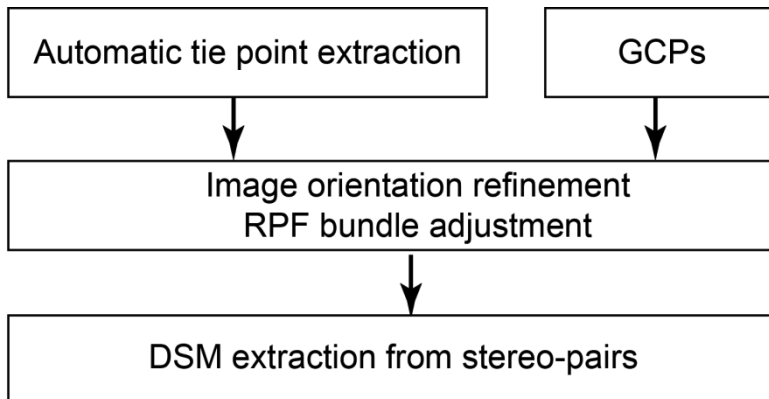
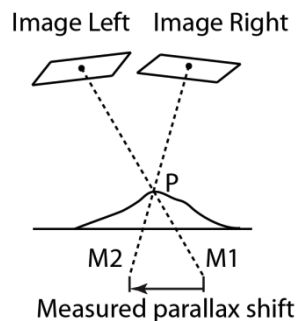
Résultats



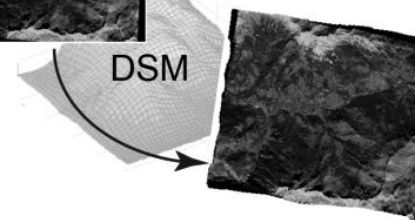
Principe de la vision stéréoscopique



# L'imagerie optique stéréoscopique pour créer des modèles de surface



orthophotographie



## Logiciels commerciaux

Erdas Imagine 

PCI Geomatica 

Pixel Factory 

Agisoft Photoscan 

Smart3DCapture 

## Logiciels open-source

Mic-Mac 

AMES/ASP 

s2p

 SURE

PMVS2

 OpenMVG

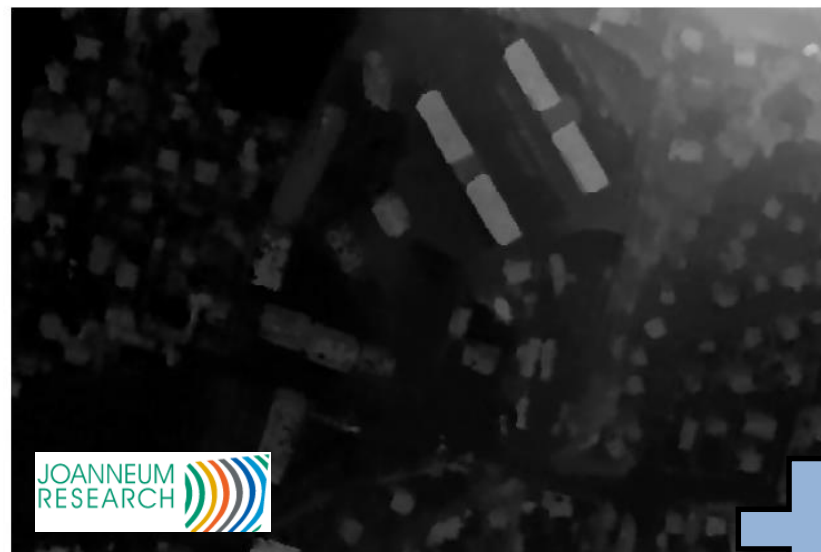
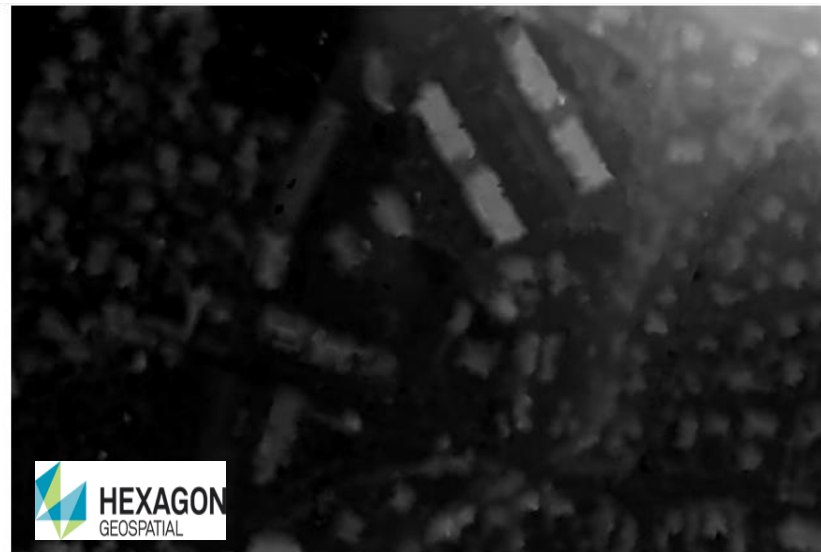
RSG

JOANNEUM RESEARCH 

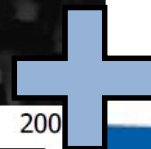
# L'imagerie optique stéréoscopique pour créer des modèles de surface



Image Pléiades ortho-rectifiée



50 0 50 100 150 200



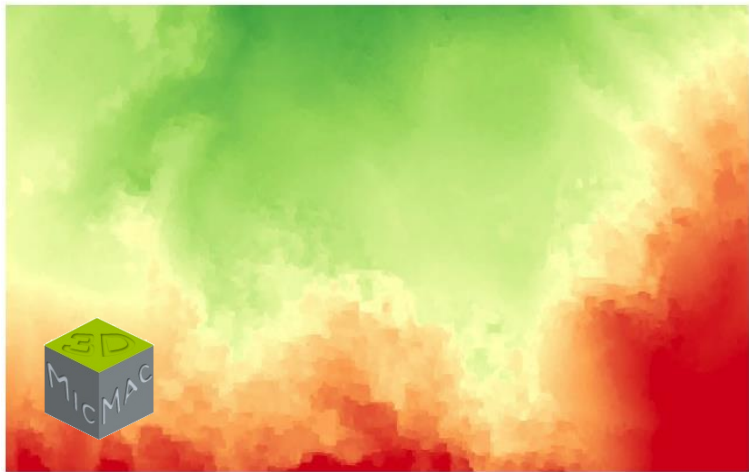
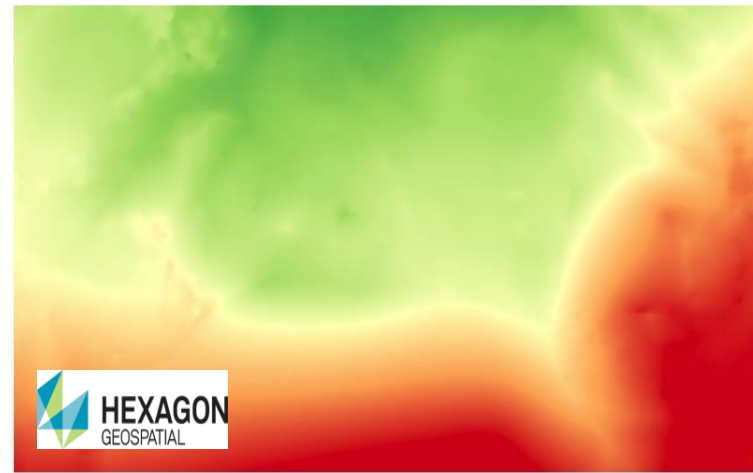
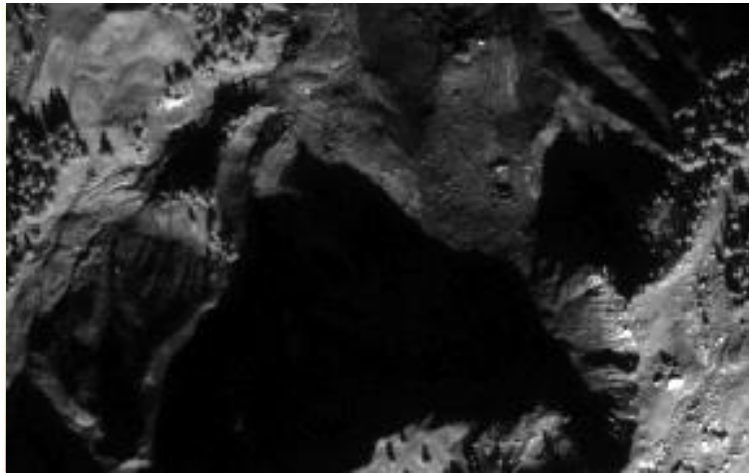
# L'imagerie optique stéréoscopique pour créer des modèles de surface



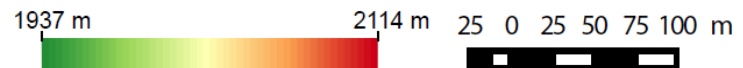
50 0 50 100 150 200



# L'imagerie optique stéréoscopique pour créer des modèles de surface

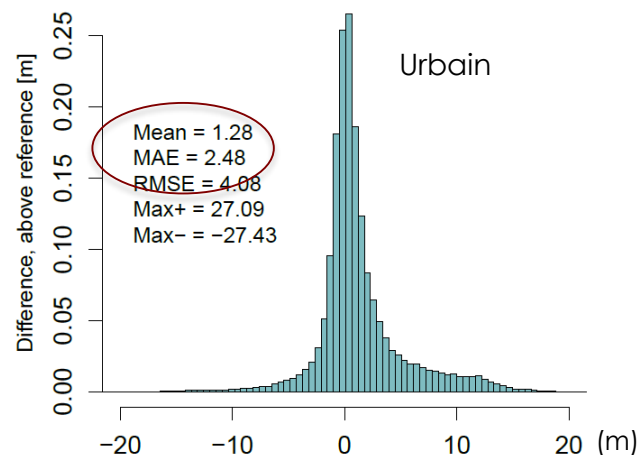
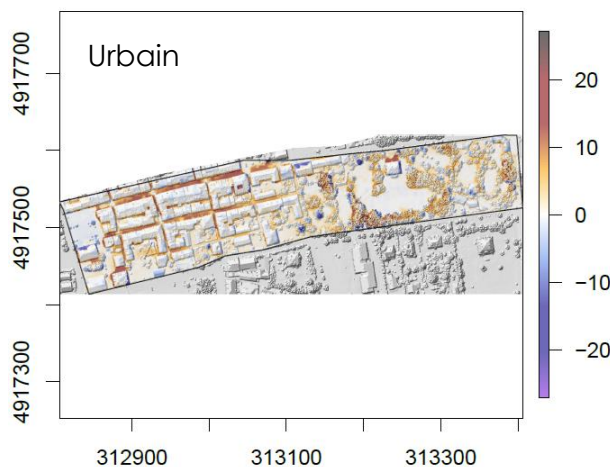
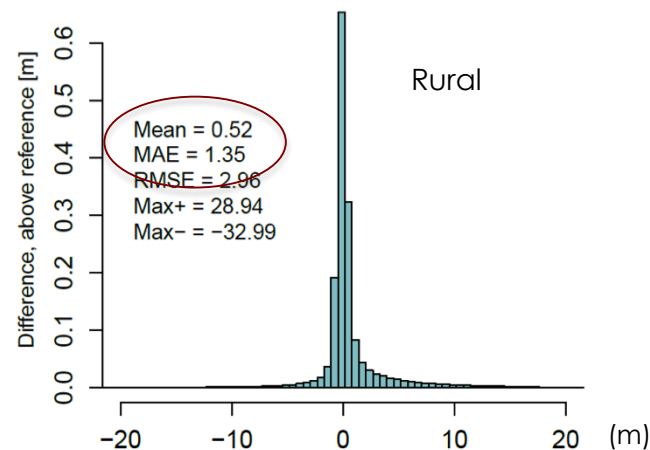
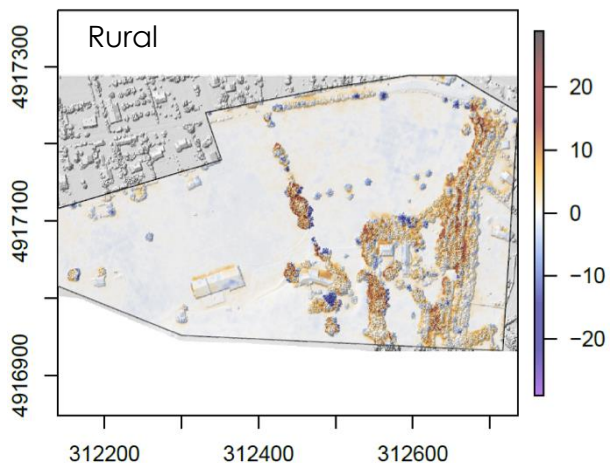


Stumpf et al. (2014)



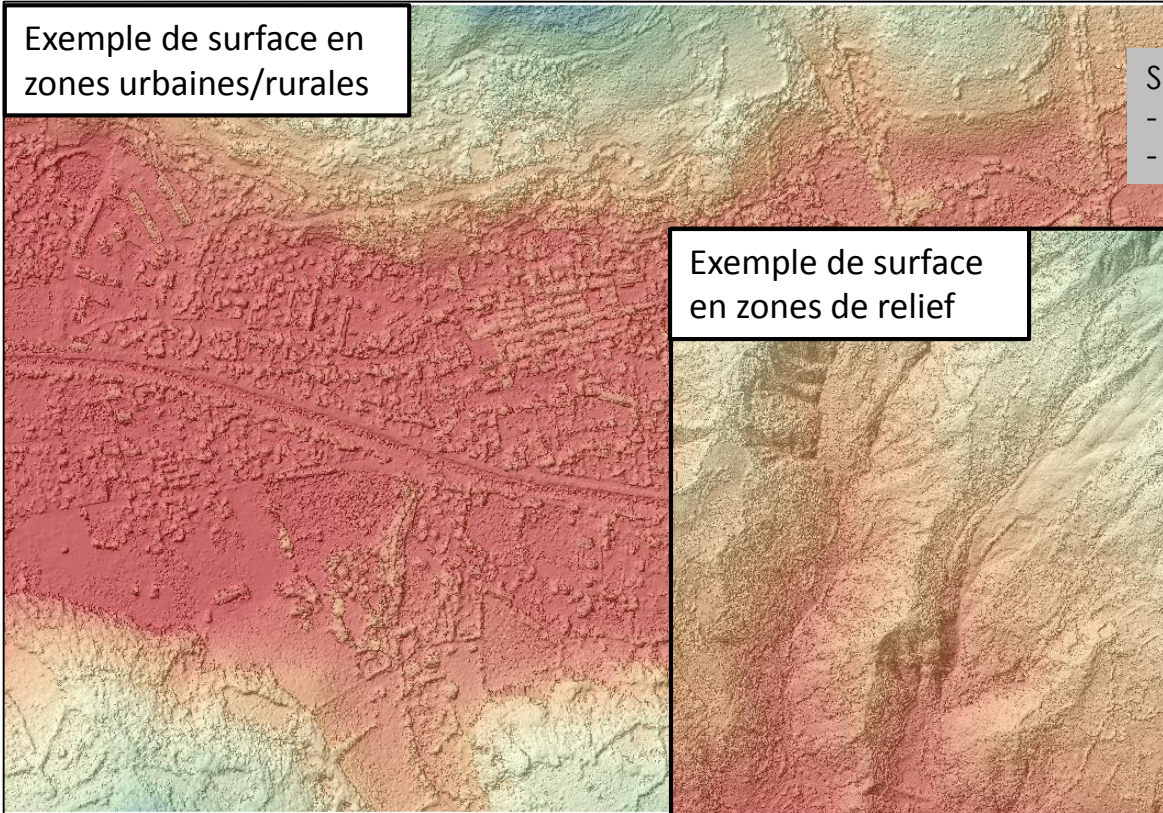
# L'imagerie optique stéréoscopique pour créer des modèles de surface

Erreurs : Comparaison MNS LiDAR aérien (référence) et MNS Stéréo-photogrammétrique Pléiades



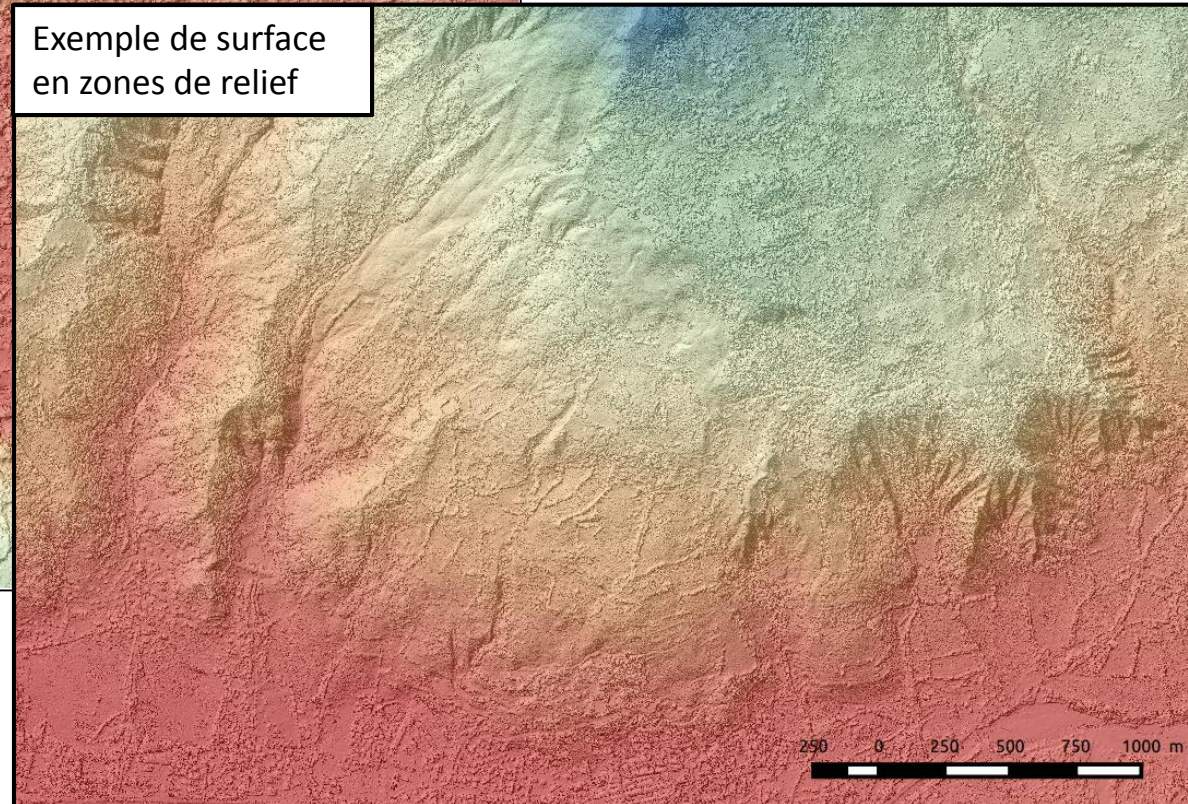
# L'imagerie optique stéréoscopique pour étudier les mouvements verticaux

Exemple de surface en zones urbaines/rurales



Stereo processing of a Pléiades scene:  
- local workstation 8 cores: 16h  
- HPC: 4 nodes of 16 cores: 30 min

Exemple de surface en zones de relief



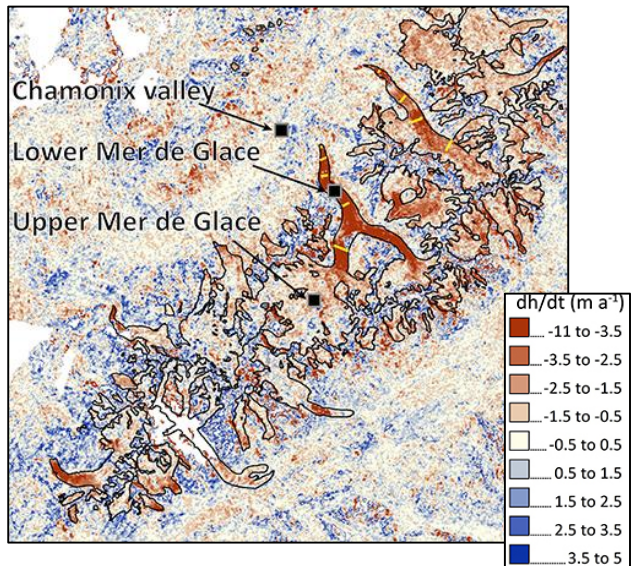
Stumpf et al. (2014)



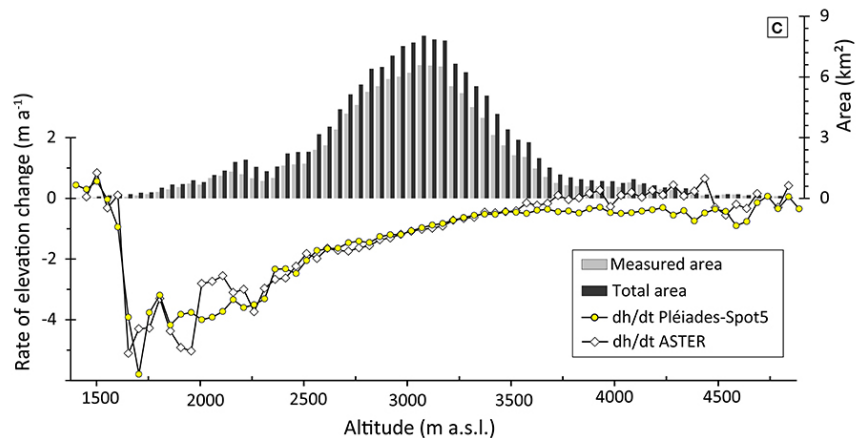


# L'imagerie optique stéréoscopique pour étudier les mouvements verticaux

Berthier et al. (2016)

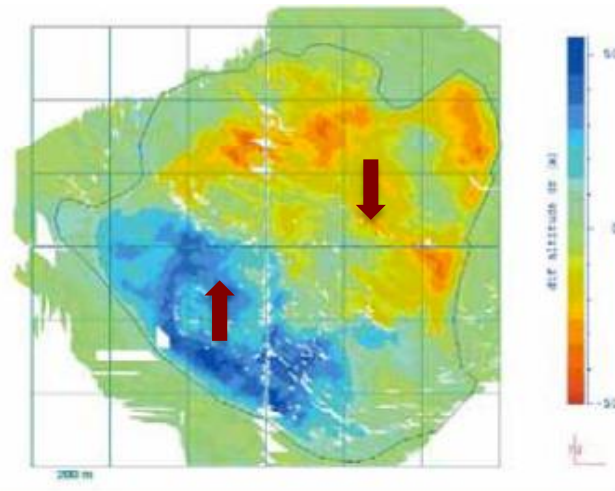
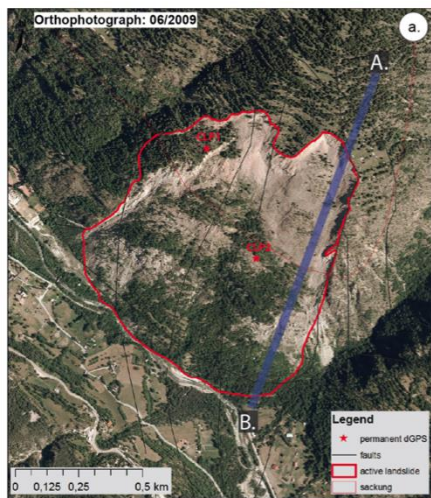


Application : Taux d'ablation de glaciers par altitudes  
Massif du Mont Blanc, Période 2000-2014



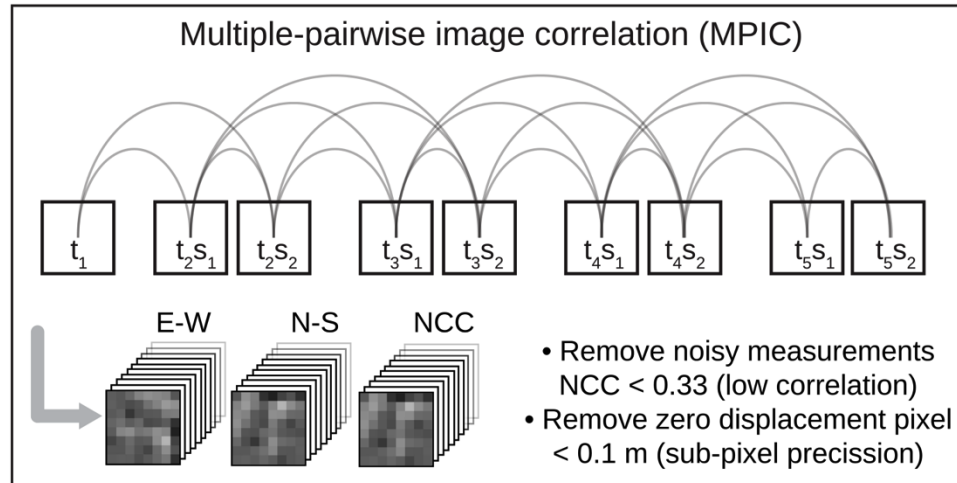
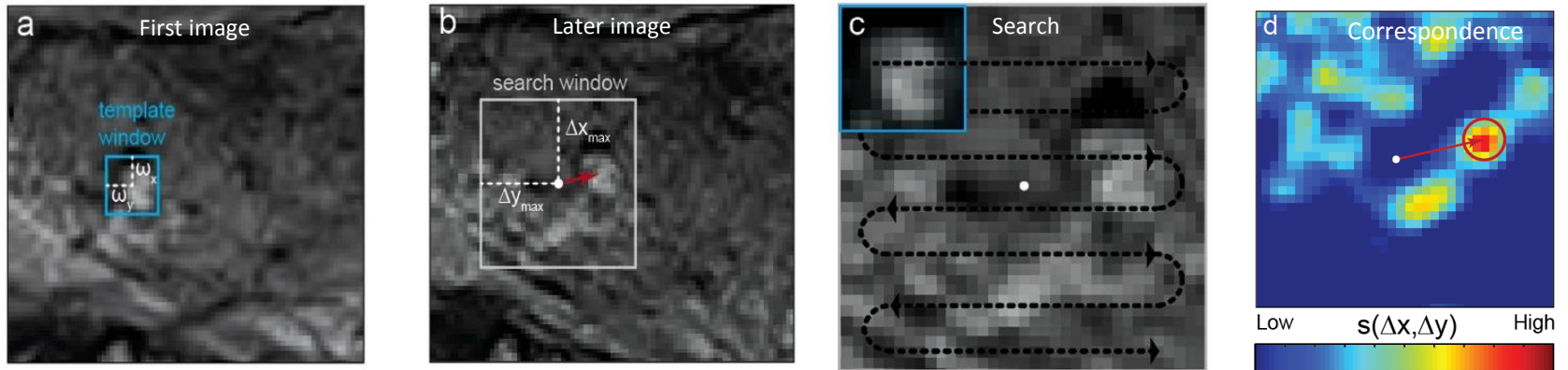
Application : Mouvements  
verticaux de glissements de terrain  
La Clapière – 1995-2010

Schlögel et al. (2016)



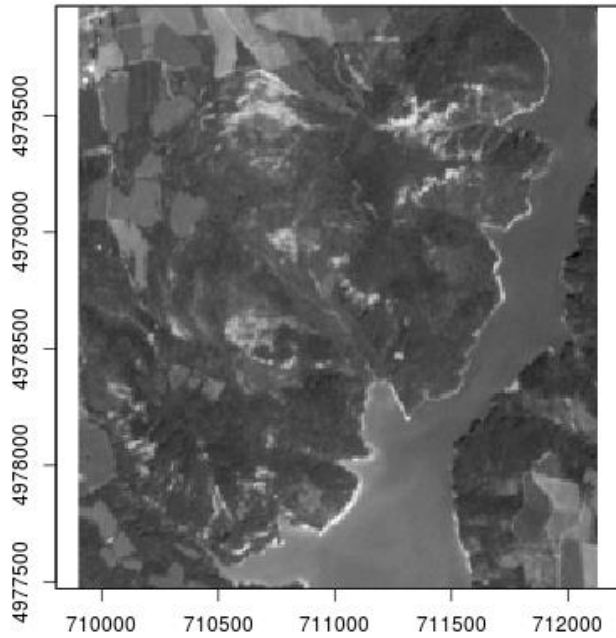
# Les séries temporelles optique pour étudier les mouvements horizontaux

Techniques de corrélation d'images entre deux ou n dates



# Les séries temporelles optique pour étudier les mouvements horizontaux

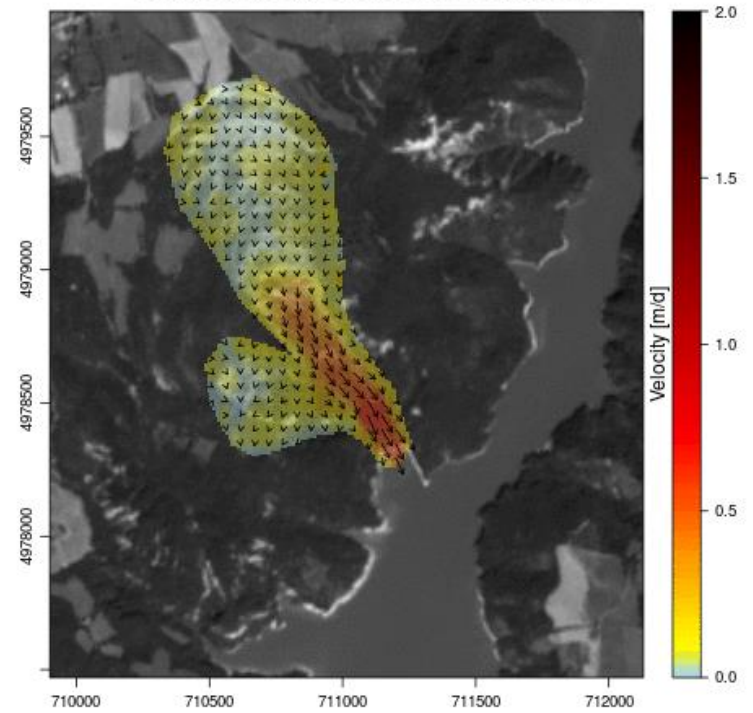
Harmalière landslide 2016-06-24



MPIC of 6 S2 images (12 pairs):  
- Use of S2 green band (560 nm)  
- More atmospheric scattering in the blue band (490 nm)

*Harmalière landslide  
(acceleration in July/Aug. 2016)*

Surface velocities 2016-08-03 - 2016-08-13

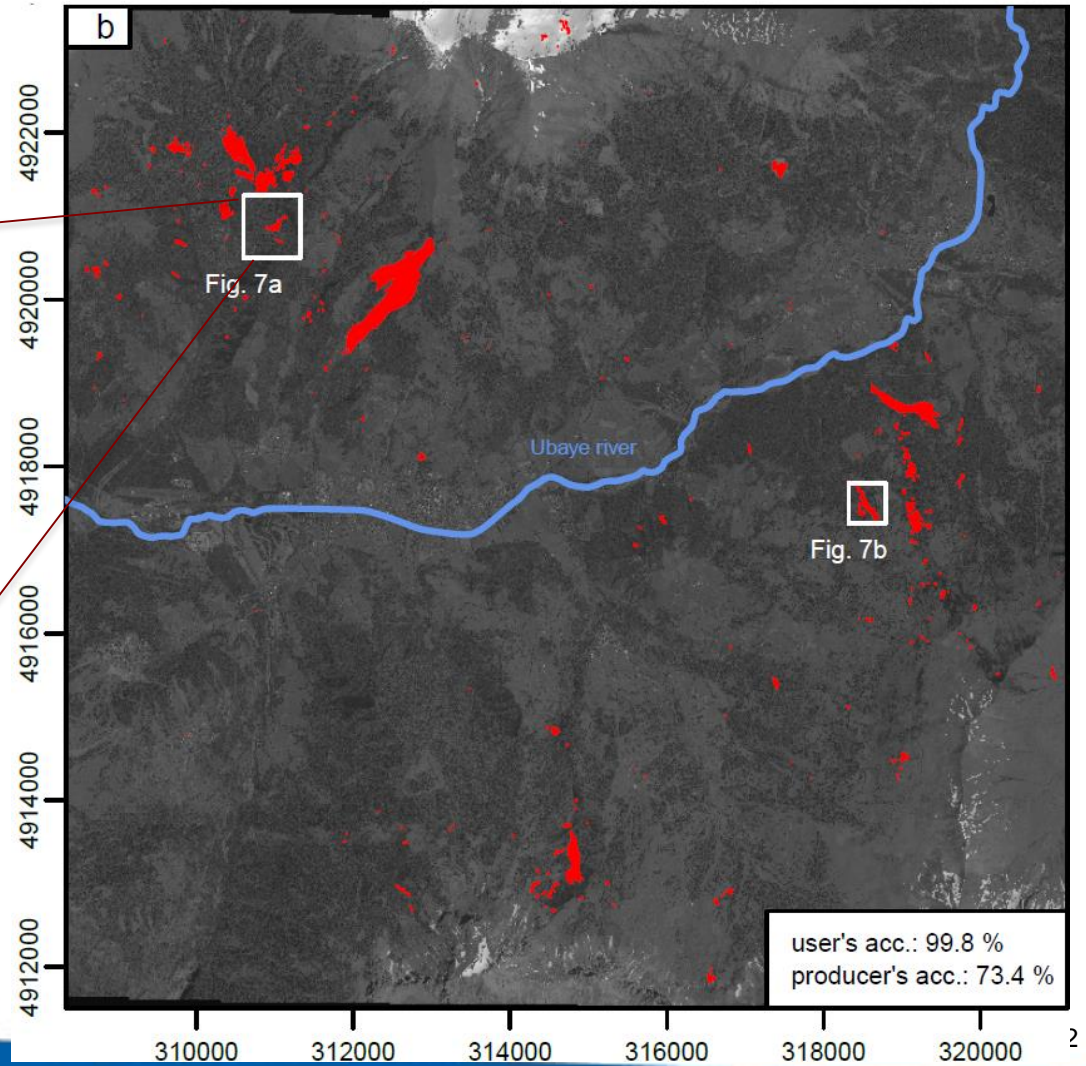
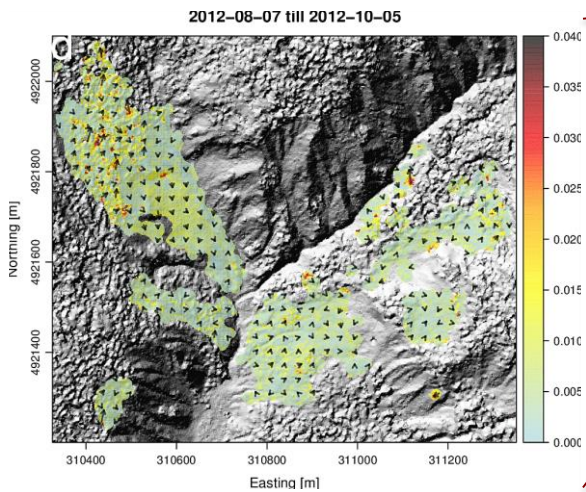
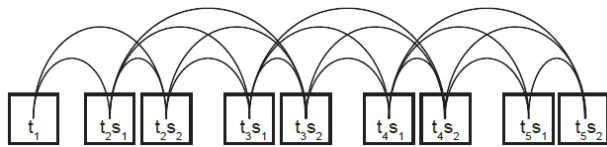


Stumpf et al. (2016)



# Les séries temporelles optique pour étudier les mouvements horizontaux

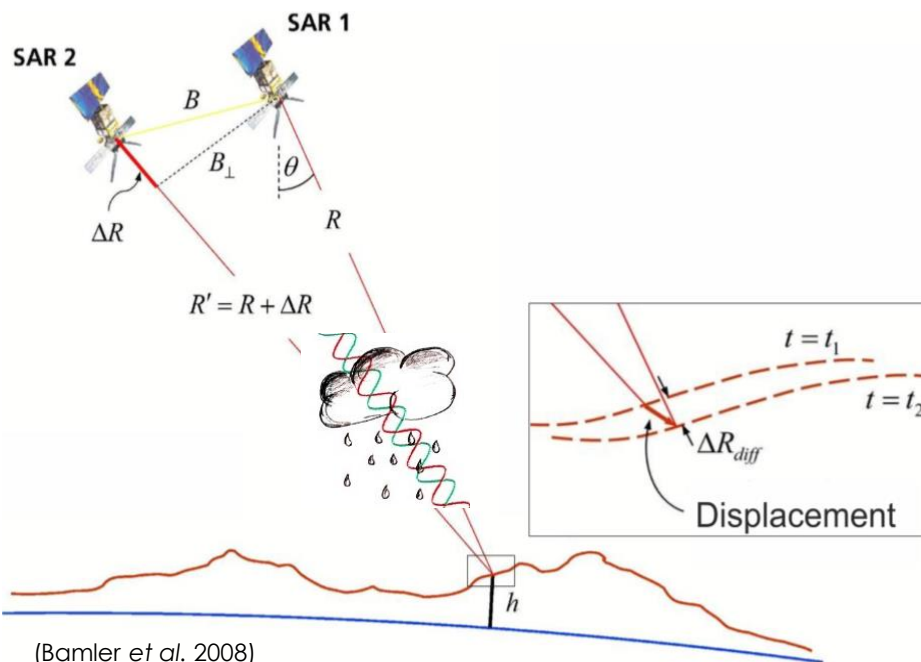
Persistence des déplacements dans le temps – Détection de zones en mouvement



Stumpf et al. (2016)

# L'imagerie radar pour étudier les mouvements horizontaux et verticaux

Interférométrie différentielle d'images radar : SAR – Radar à Synthèse d'Ouverture



Traitement complexe :

- Création d'interférogrammes (e.g. carte des différences de phase)
- Corrections atmosphériques
- Inversion de séries temporelles
- Filtrage / Mesure relative par rapport à un point de référence (déroulage)

Analyse de 2 images d'une même zone à  $\Delta t$

Différence de phase  $\Delta\varphi \propto \Delta R$

Signal affecté par plusieurs effets :

$$\varphi_{\Delta t} = \varphi_{topo,\Delta t} + \varphi_{atm,\Delta t} + \varphi_{orb,\Delta t} + \varphi_{bruit,\Delta t} + \varphi_{def,\Delta t} + \varphi_{dem,\Delta t}$$

- Topographie
- Atmosphère
- Géométrie de la Terre / Géométrie d'acquisition Radar
- Orbites
- Rétrodiffusion sol – Etats de surface
- Bruit systématique

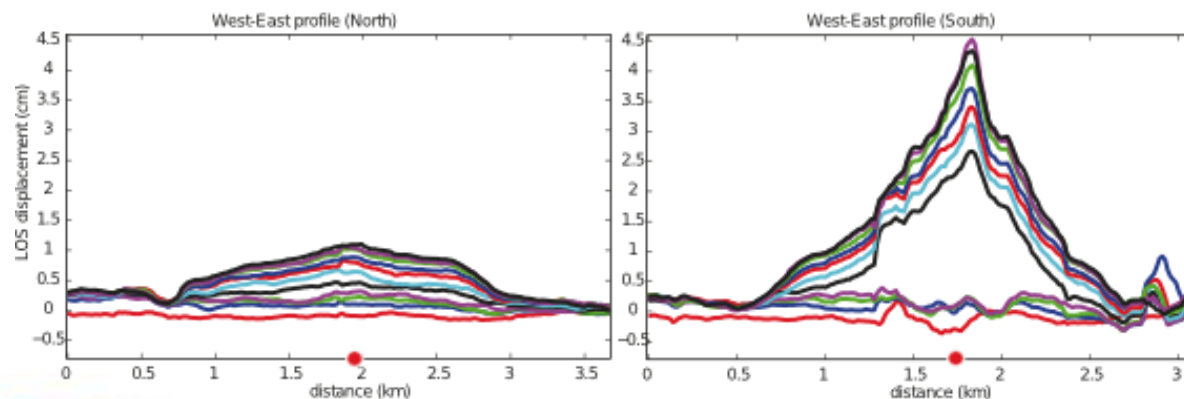
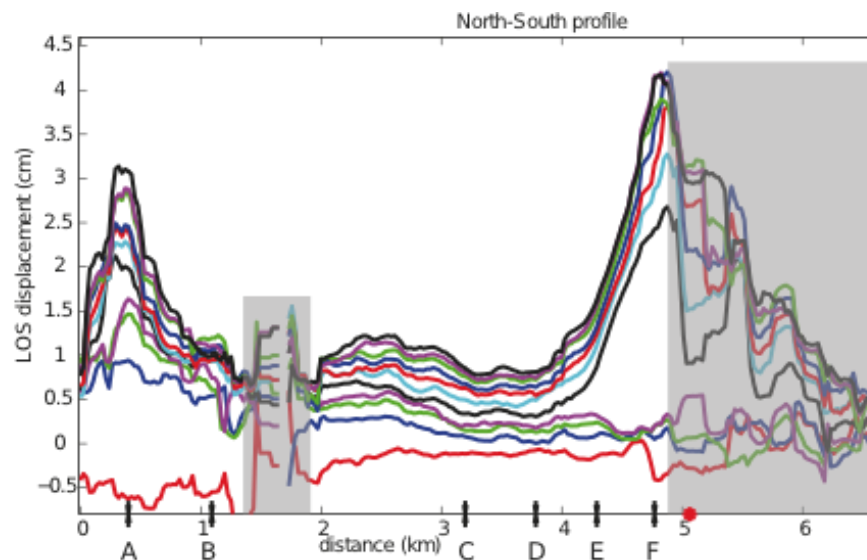
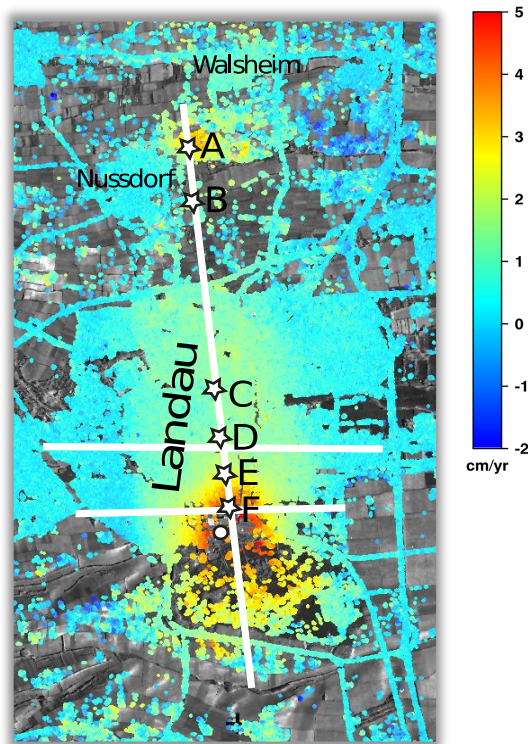
Technique sujette à dé-corrélation temporelle et à des mesures selon ligne de visée

Sensibilité / Précision : millimétrique selon longueur d'ondes du capteur et caractéristiques du terrain

# L'imagerie radar pour étudier les mouvements horizontaux et verticaux

Application : Déformation (taux de déplacement, ligne de visée) de réservoirs (géothermie)  
Landau, 2013-2014

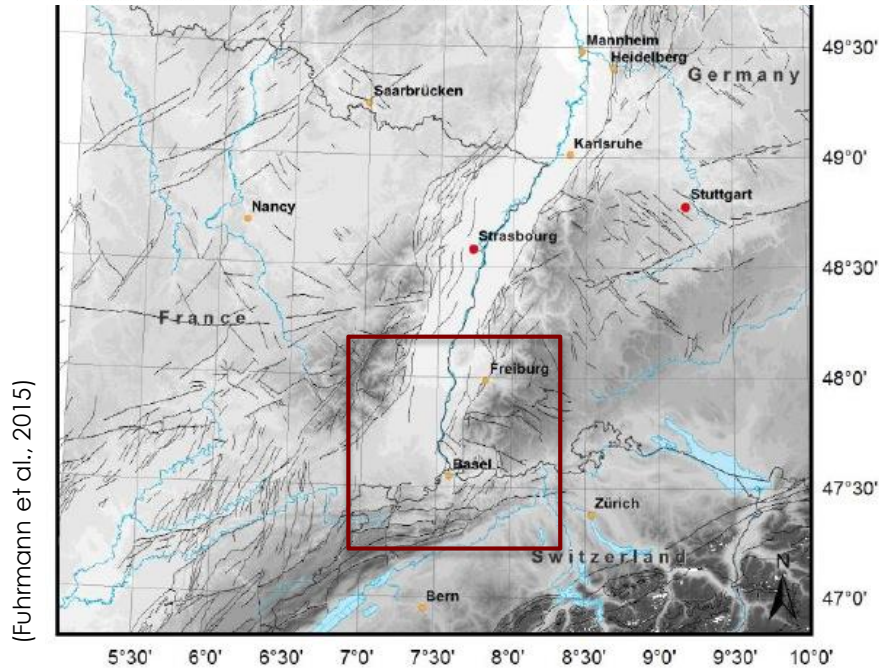
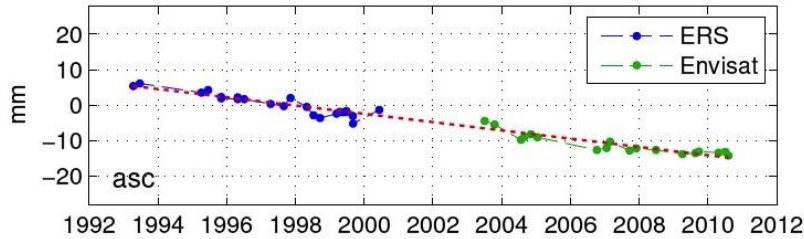
(Heimlich et al., 2015)



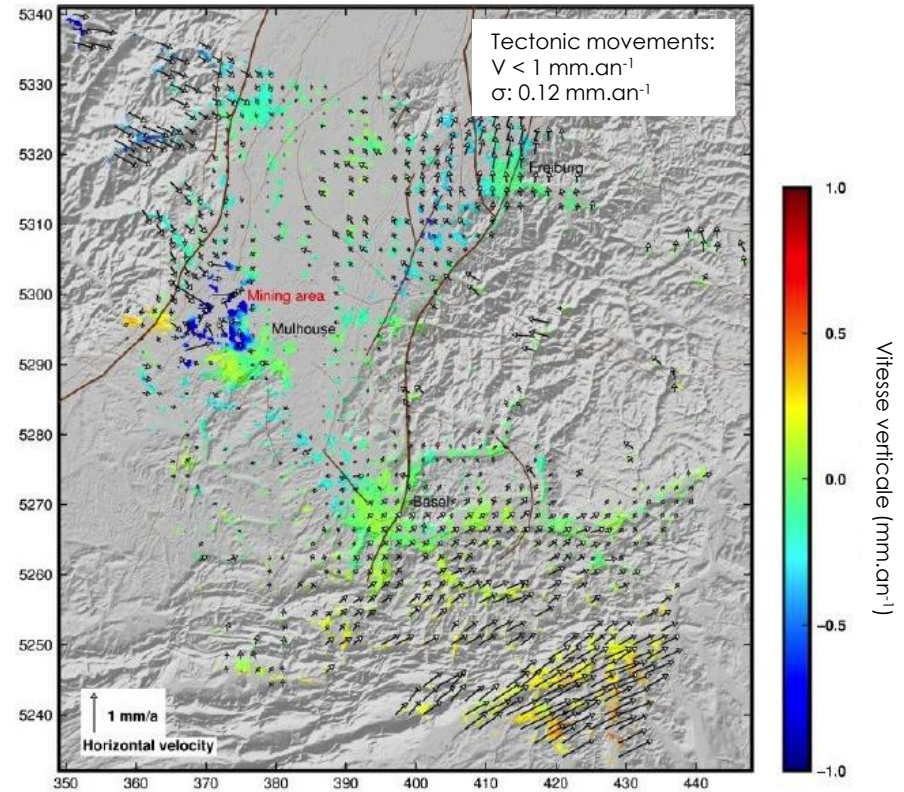
Réflecteurs Permanents  
(Persistent Scatterers, PS / StaMPS)

# L'imagerie radar pour étudier les mouvements horizontaux et verticaux

Application : Déformation du Fossé Rhénan – Analyse d'archives d'images SAR (ERS/Envisat)

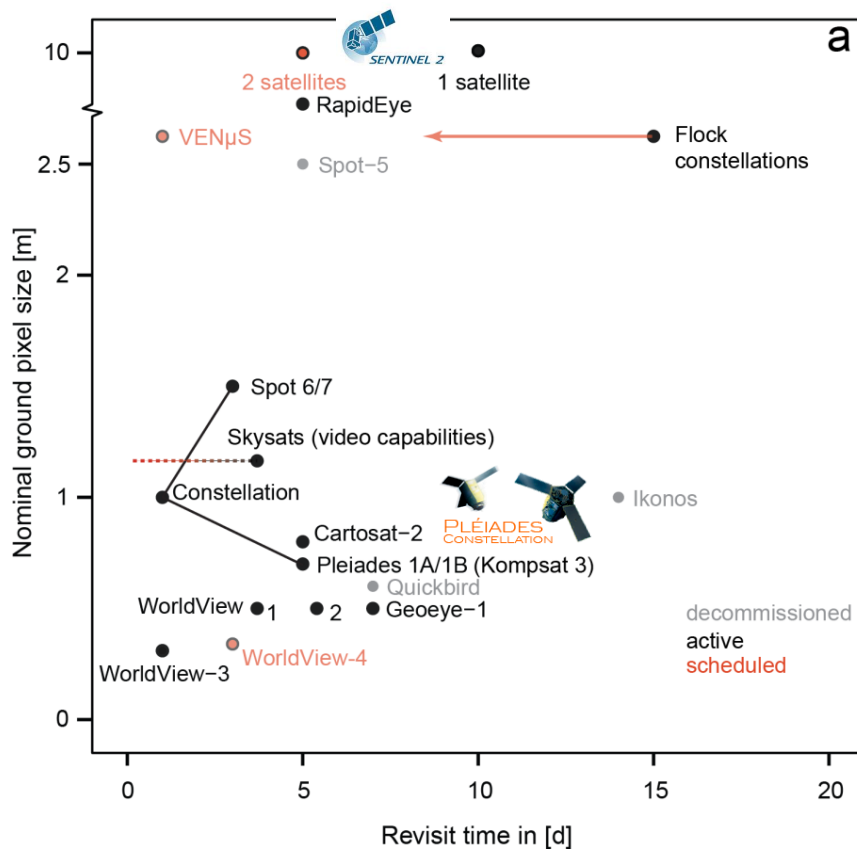


(Fuhrmann et al., 2015)



Réflecteurs Permanents 1992-2012  
(Persistent Scatterers, PS / StaMPS)

# Conclusion



De nombreuses données :

résolution spatiale (m – dm)

fréquence temporelle (5 – 30 j)

longueurs d'onde (visible, thermique, micro-ondes)

De nombreuses méthodes de traitement pour quantifier les déformations verticales / horizontales :

stéréophotogrammétrie / radargrammétrie satellitaire

corrélation d'image (optique, amplitude radar)

interférométrie (phase radar)

Des traitements ± complexes selon les sensibilités et précisions recherchées

Un besoin de données de référence au sol

Des problèmes inhérents aux images : ombre, végétation, nuage, orbite, état de surface, etc



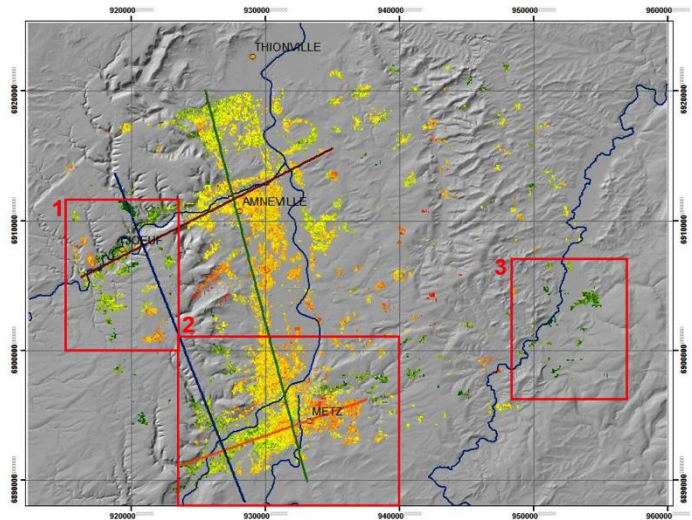
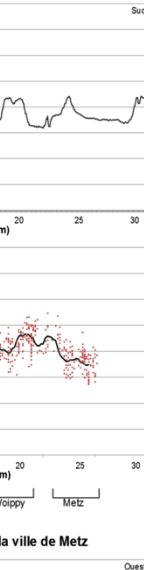




# Site d'étude fossé région de Metz / bassin ferrifère lorrain

## Distribution des vitesses moyennes

secteur : Florange - Metz

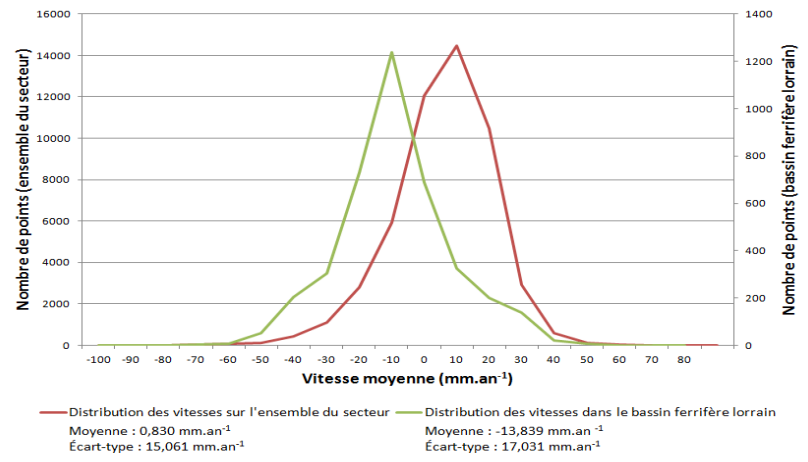


**Profils de vitesse**

- Profil Joëuf - Amnéville
- Profil Amnéville - Metz
- Profil Ville de Metz
- Profil du bassin minier

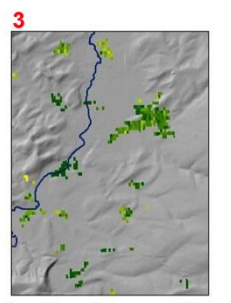
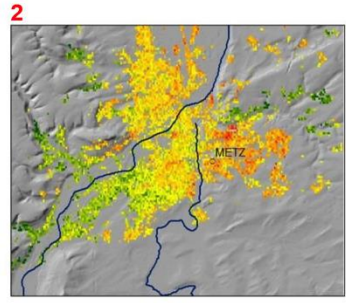
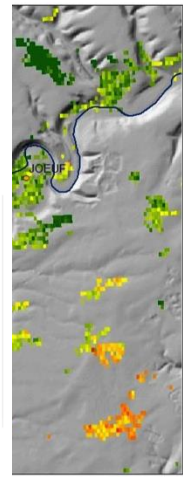
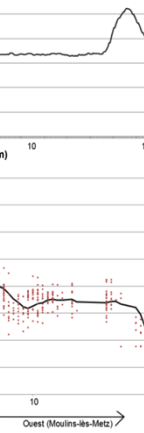
**Vitesse moyenne du sol LOS (mm/an)**

70,9  
0  
-84,7



Histogramme des vitesses moyennes sur l'ensemble de la zone et dans le bassin minier

la ville de Metz



Distribution spatiale des vitesses moyennes

